

بررسی الگوهای سینوپتیکی اینورژن در مشهد با استفاده از تحلیل عاملی

دکتر بهلول علیجانی (استاد اقلیم‌شناسی دانشگاه تربیت معلم تهران، نویسنده مسؤل)
زهره نجفی نیک (کارشناس ارشد اقلیم‌شناسی مرکز تحقیقات اداره کل هواشناسی استان کرمان)
Zahra nagafi @ yahoo. com

چکیده

در این پژوهش، با هدف شناسایی تیپ‌های هوایی مؤثر بر وارونگی‌های دمایی شهرستان مشهد، ابتدا آمار روزهای دارای وارونگی از ایستگاه جو بالای این شهر تهیه شد. سپس آمار فشار سطح دریا ساعت ۰۰ گرینویچ در تلافی ۲/۵ درجه در محدوده‌ی ۲۰ تا ۴۷/۵ درجه‌ی شمالی و ۳۵ تا ۶۷/۵ درجه‌ی شرقی، از مرکز NCEP دانشگاه آنجلیای شرقی انگلستان، واقع در شهر نورویچ، تهیه شد. پس از آن برای طبقه‌بندی داده‌های فشار از روش تحلیل عاملی یا تحلیل مؤلفه‌های اصلی استفاده شد. امتیاز این روش در این است که ضمن کاهش تعداد متغیرها، مقدار اولیه‌ی واریانس موجود در داده‌ها را نیز حفظ می‌کند؛ سپس خوشه‌بندی با استفاده از آرایه‌ی Ward صورت گرفت که در آن همه عوامل به هفت عامل اصلی تبدیل شدند و در نهایت نقشه‌ی مرکب هر گروه تهیه شد. در نتایج به دست آمده در مجموع دو تیپ نشان دهنده الگوی تابستانه، سه تیپ نشان دهنده الگوی زمستانه و دو تیپ نشان دهنده الگوی پاییزی هستند. اینورژن‌های فصول سرد قوی‌تر بوده، دارای پایداری و تداوم بیشتری هستند که در نتیجه لایه‌ای از موا‌د آلاینده در سطح شهر می‌ماند و دوام بیشتری دارد. با توجه به بررسی نقشه‌ها، الگوی پر فشار از سایر الگوها بیشتر دیده می‌شود و در بین هفت تیپ موجود، تیپ پنج که دارای الگوی زمستانه است به جهت تداوم بیشتر وارونگی‌ها، قوی‌ترین تیپ است.

کلیدواژه‌ها: تیپ‌های هوا، وارونگی، تحلیل مؤلفه‌های اصلی، خوشه‌بندی، طبقه‌بندی الگوهای فشار.

درآمد:

رشد روزافزون جمعیت و فعالیت‌های انسانی همراه با فن‌آوری‌های پیشرفته و صنایع بزرگ مشکل بزرگ آلودگی هوا را برای سکنه‌ی روی زمین فراهم کرده است. (انصافی مقدم، ۱۳۷۲: ۳). انسان موجودی است که

تحت تأثیر شدید محیط از جمله آب و هوا می‌باشد. آب و هوا عامل مهم و مؤثر بر تمام اشیاء و پدیده‌های محیط طبیعی است. شناخت آب و هوا از زمان‌های گذشته مورد توجه بوده است. (محمدی، ۱۳۸۲: ۱).

الگوهای گردشی و اچرخندی، چه در سطح زمین و چه در لایه‌های بالایی اتمسفر، هوای آفتابی ایجاد کرده و پایداری به وجود می‌آورند که این موضوع سبب آلودگی شدید شهرهای پرجمعیت و صنعتی می‌شود. بنابراین در شرایطی که هوا پایدار باشد و ارتفاع لایه‌ی وارونگی دما پایین باشد، آلاینده‌های شهری داخل شهر متراکم شده و غلظت آلودگی را بالا می‌برند. لذا با توجه به قرارگیری سامانه‌های پرفشار در شرق و شمال شرق کشور، در بسیاری از روزها پایداری ایجاد شده، بنابراین مشهد بیشتر تحت تأثیر آن‌هاست و این شهر نیز به جمع شهرهای آلوده پیوسته است (توسلی، ۱۳۷۹: ۱۰).

بیشتر وارونگی‌های مشهد در فصل‌های پاییز و زمستان رخ می‌دهند، همچنین جهت باد غالب مشهد که در سطح زمین جنوب شرقی-شمال غربی می‌باشد، هر نوع مواد آلوده کننده مانند دود، گازها، ذرات معلق و دیگر مواد آلاینده موجود در هوای منطقه‌ی جنوب شرق تا شرق مشهد مستقیم. روی فرودگاه مشهد انتقال می‌یابد که موجب کاهش دید در این منطقه می‌شود. بادهای سطح بالا که با توجه به دیده بانی‌ها توسط بالن رها شده مسیری را تا حدود چند کیلومتری در همان جهت شرق به غرب می‌بیماید، کاملاً جهت آن عکس بادهای سطح زمین شده و به طرف شهر بازمی‌گردند. از این نظر آلودگی جو بالای مشهد با توجه به استقرار صنایع در بخش شرق و جنوب شرق وجود دارد. همچنین وجود کارگاه‌های بزرگ، تعمیرگاه‌های اتوبوس‌رانی و پارکینگ اتوبوس‌ها در مسیر باد غالب، باعث کاهش دید و از طرفی این پدیده باعث شده در برخی روزهای مه آلود زمستانی، پدیده smog یا مه دود فتو شیمیایی، که مربوط به قطب‌های صنعتی و آلوده است، بروز کند. (مقدس خراسانی، ۱۳۶۶: ۱۹۳-۱۸۵)

جهت و سرعت باد نیز به عنوان یک عامل جوئی، نقش مهمی را در انتقال آلاینده‌ها دارند (موسوی، ۱۳۸۱). بسیاری از مطالعات تجربی و عددی می‌تواند توجیه کننده ارتباط بین وقوع آلودگی و هواشناسی باشد. آگاهی از پارامترهای لایه‌ی مرزی جهت انتقال آلودگی مورد نیاز هستند، بنابراین شبیه‌سازی‌های میان‌مقیاس مسؤولیت پر کردن گپ میان داده‌های محلی (به دست آمده از طریق اندازه‌گیری) و نتایج الگوهای سینوپتیکی را بر عهده دارند (Troude و همکاران، ۳۹۵-۲۰۰۱: ۳۸۱). علیجانی (۱۳۸۲) به شناسایی تیپ‌های هوایی مؤثر بر

آلودگی هوای تهران پرداخت، که در نتیجه شش تپ هوایی شناسایی شد و با توجه به این که بیشتر روزهای آلوده در فصل پاییز بودند، بیشتر تپ‌ها هم در این فصل مشاهده شدند. انتظاری (۱۳۸۴) به مطالعه‌ی آماری و سینوپتیکی آلودگی هوای تهران پرداخت که چهار تپ عمده هوا، شامل: پرفشار سبیری، پرفشارهای غربی، تپ مداری و کم فشار خراسانی است. (Laurance و همکاران، ۵۱-۱۹۸۶:۲۱) وی با استفاده از اقلیم شناسی سینوپتیک و کاربرد تحلیل عاملی به ارزشیابی تمرکز دی اکسید سولفور پرداخت و نتیجه گرفت که روش‌های سینوپتیکی ارزشیابی اثرات اقلیم بر تمرکز سولفور نتایج بهتری نسبت به روش‌های آماری قدیمی دارند. لذا روش‌های سینوپتیکی با استفاده از تحلیل مؤلفه‌های اصلی و روش کلاستر دارای اطلاعات مفید تری بودند. همچنین (علیجانی، ۱۳۸۰:۲۱) تپ‌های هوا و اثر آن بر اقلیم ایران را بررسی کرد و با استفاده از تحلیل عاملی تعداد ۱۶۸ متغیر (تلاهی) را به شش عامل اصلی تبدیل کرد. (طاهره انصافی مقدم، ۱۳۷۲:۳) همچنین، به بررسی آلودگی هوای تهران در ارتباط با پایداری و وارونگی‌های دمای جو (اینورژن) پرداخت، که در نتیجه با وجود این که از زیاد وقوع و درصد اینورژن با افزایش آلودگی ارتباط مستقیم دارد، اما بین کاهش ارتفاع لایه‌ی اینورژن و لایه‌ی آمیخته با شدت آلودگی هوا، رابطه‌ی غیر مستقیم وجود دارد. (رضا برهانی، ۱۳۷۹: ۵-۱) به ارتباط آلودگی هوا و وارونگی دمایی با سرعت باد و شدت تابش خورشیدی (روی شهر تهران) پرداخته و نتایج حاصل از این بررسی نشان داد که نقش تابش در آلودگی هوای تهران بارز تر از سرعت باد است، که این به دلیل کم بودن سرعت باد در اثر توپوگرافی و وجود کوهستان‌های اطراف تهران است. (جواد مصلح تهرانی، ۱۳۷۰: ۶) انواع وارونگی‌های دما لایه‌ی مرزی وردایست، تراز باد بیشینه، برش قائم باد و جریان‌های جت زیر تراز ۵۰۰ هکتوپاسکال روی تهران را مورد بررسی قرار داد. لذا از آن جا که عامل عمده تمام تغییرات ویژگی‌های محیط زیست انسانی، تغییرات فشار است، بنابراین، در هر نوع مطالعه‌ی مسائل محیطی وابسته به اقلیم، اولین مرحله، شناسایی تپ‌های هواست (علیجانی، ۱۳۸۱: ۲۰۱).

داده‌ها و روش انجام تحقیق

با توجه به موقعیت خاص جغرافیایی مشهد، که بیشتر ایام سال تحت نفوذ پرفشارهاست، همین‌طور واقع

شدن در دره کشف رود که از جریان‌ات کوه و دره نیز بی تأثیر نیست، و آرونکی‌های مشهد مورد بررسی قرار گرفت. در این تحقیق، ابتدا آمار روزانه اینورژن‌های مشهد برای دوره مورد مطالعه، از سال ۱۹۷۷ تا ۱۹۹۳، از سازمان هواشناسی کشور تهیه شد. این داده‌ها با گپ آماری همراه بود و چون داده‌های اینورژن قابل بازسازی نیستند، بنابراین فقط روزهای دارای آمار بررسی شد. داده‌ها تا ارتفاع ۱۱۰۰ متر از سطح دریا، یعنی ۱۰۰ متر بالاتر از ارتفاع خود مشهد، به وسیله‌ی نرم افزار اکسل و فیلترگذاری استخراج شد. این داده‌ها دربرگیرنده ۳۲۴ روز طی شانزده سال دوره آماری است. با توجه به این که هدف این پژوهش شناسایی سیستم‌های سینوپتیک است، آمار فشار سطح دریا در ساعت ۰۰ روزهای دارای و آرونکی را از سایت NCEP به صورت رقومی در محدوده ۲۰ تا ۴۷/۵ درجه‌ی شمالی و ۳۵ تا ۶۷/۵ درجه‌ی شرقی استخراج کرده و برای آنها ماتریسی تهیه گردید. در مرحله‌ی بعد، به دلیل تعداد زیاد روزها که کار تحلیل و تفسیر نقشه‌ها را مشکل می ساخت، داده‌های فشار روزانه طبقه بندی شدند. برای طبقه بندی داده‌های فشار، از روش تحلیل عاملی با آرایه‌ی ward استفاده شد. سپس با استفاده از روش تحلیل عاملی، مؤلفه‌های اصلی تلاقی، داده‌های فشار به تعداد محدودی عامل کاهش یافت. در این تحقیق با استفاده از آزمون غربالی، مؤلفه‌هایی که بیش از نود درصد واریانس داده‌ها را توجیه می کردند، انتخاب شدند. (جدول ۱) سپس از این مؤلفه‌ها برای خوشه بندی روزها استفاده شد و مؤلفه‌هایی که در انتهای نمودار، دنباله‌ی مستقیمی را ایجاد کردند، حذف شدند. بنابراین عواملی که دارای ارزش ویژه هستند در تحلیل نهایی مورد استفاده قرار گرفتند. پس از استخراج عامل‌های اصلی، داده‌های اصلی در فرایند خوشه بندی روزها مورد استفاده قرار گرفت. جدول شماره ۲ نمونه‌ای از اعضای خوشه بندی را نشان می دهد. در مرحله‌ی بعدی، برای به دست آوردن الگوهای غالب هر کدام از گروه‌های آمده، از اعداد فشار سطح زمین در روزهای هر گروه میانگین گرفته شد. در مرحله‌ی آخر بر اساس اعداد میانگین گیری شده، برای هر کدام از گروه‌ها در نرم افزار surfer نقشه‌های مرکب برای داده‌های فشار سطح زمین تهیه گردید. در پایان با توجه به نقشه‌های به دست آمده، وجود کم فشارها و پر فشارها در سطح زمین و همچنین تأثیر عوامل محلی، تیپ‌های هوایی مؤثر بر اینورژن‌های مشهد استخراج شد.

جدول ۱. توزیع واریانس تحلیل عاملی روزهای دارای اینورژن

نتایج توزیع واریانس						
استخراج بار گویه‌های مجموع مربع‌ها			ارزش ویژه اولیه			
مؤلفه	مجموع	درصد واریانس	درصد تجمعی	مجموع	درصد واریانس	درصد تجمعی
۱	۱۳۳/۴۵۰	۵۹/۳۵۱	۵۹/۳۵۱	۱۲۳/۴۵۰	۵۹/۳۵۱	۵۹/۳۵۱
۲	۳۰/۸۵۲	۱۴/۸۸۵	۷۴/۱۳۶	۳۰/۸۵۲	۱۴/۸۸۵	۷۴/۱۳۶
۳	۱۵/۷۹۷	۷/۵۹۵	۸۱/۸۳۰	۱۵/۷۹۷	۷/۵۹۵	۸۱/۸۳۰
۴	۸/۱۸۹	۳/۹۳۷	۸۵/۶۶۷	۸/۱۸۹	۳/۹۳۷	۸۵/۶۶۷
۵	۶/۷۲۷	۳/۱۳۴	۸۸/۹۰۱	۶/۷۲۷	۳/۱۳۴	۸۸/۹۰۱
۶	۴/۰۳۲	۱/۹۳۹	۹۰/۸۴۰	۴/۰۳۲	۱/۹۳۹	۹۰/۸۴۰
۷	۳/۵۹۱	۱/۸۲۶	۹۲/۵۶۶	۳/۵۹۱	۱/۸۲۶	۹۲/۵۶۶

جدول ۲. نمونه ای از اعضای کلاستر

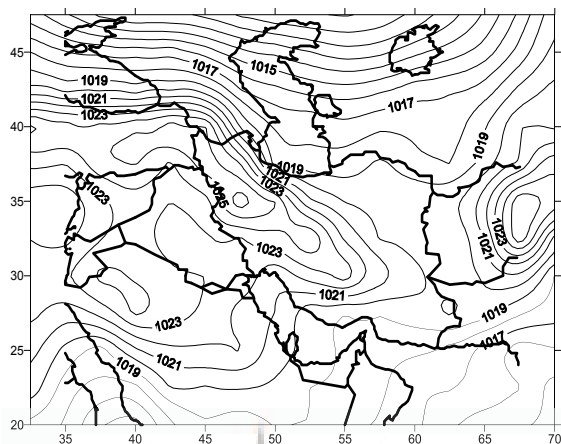
اعضای کلاستر	نمونه	۱	۲	۳	۴	۵	۶	۷	۸
کلاستر	کلاستر	۱	۲	۳	۴	۵	۳	۳	۶

بررسی الگوهای سینوپتیکی اینورژن در مشهد

در بررسی‌های انجام شده پس از به دست آوردن الگوهای مؤثر بر اینورژن‌ها که در نقشه‌های زیر آمده، به شرح آن‌ها می‌پردازیم:

الف) الگوی تیپ ۱

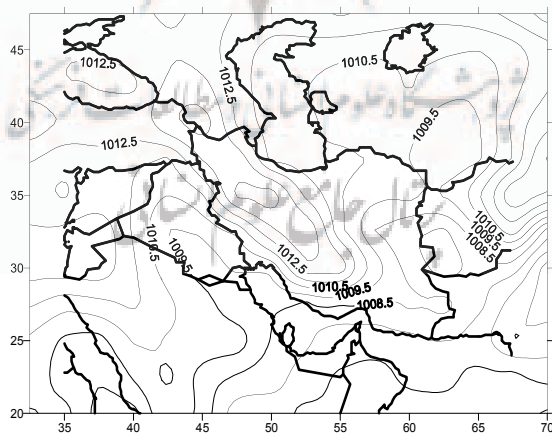
در این تیپ الگوی پر فشار با مرکزیت ۱۰۲۵ میلی بار روی شمال غرب کشور مستقر شده و زبانه‌های این الگو تا انتهای زاگرس و همچنین کشور عراق و مناطق شمالی عربستان گسترش یافته است. همچنین الگوی مشابهی روی شرق افغانستان دیده می‌شود. شمال دریای خزر و آرال در گستره الگوی کم فشار قرار گرفته است. این وضعیت موجب پایداری و فرونشینی هوا روی بیشتر نقاط کشور و همچنین استان خراسان می‌شود که در بیشتر موارد و در صورت وجود هوای نسبتاً صاف شرایط وارونگی در ایستگاه مشهد مهیا می‌شود. این الگو عموماً در فصل پاییز و زمستان رخ می‌دهد.



نقشه ۱. الگوی فشار متوسط سطح دریا برای تیپ ۱

ب) الگوی تیپ ۲

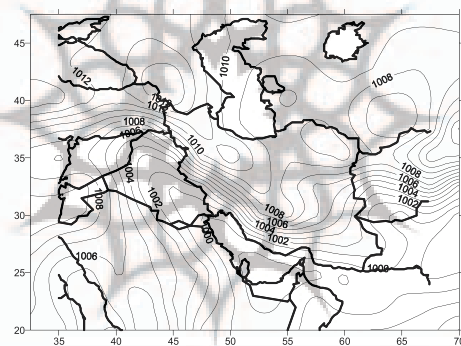
در تیپ دوم الگوی فشار متوسط، دریا دارای گرادیان کم است و توزیع فشار نسبتاً هم‌گن است. اما دو الگوی پر فشار روی زاگرس تا مرز ترکیه و ارمنستان و الگوی دیگری با مرکزیت ۱۰۱۵ میلی‌باری روی شمال شرق افغانستان قرار دارد. در سایر نقاط خاورمیانه و کشورمان الگوی کم فشار حاکم است. این گونه توزیع فشار معمولاً در فصول غیر سرد سال دیده می‌شود.



نقشه ۲. الگوی فشار متوسط سطح دریا برای تیپ ۲

پ) الگوی تیپ ۳

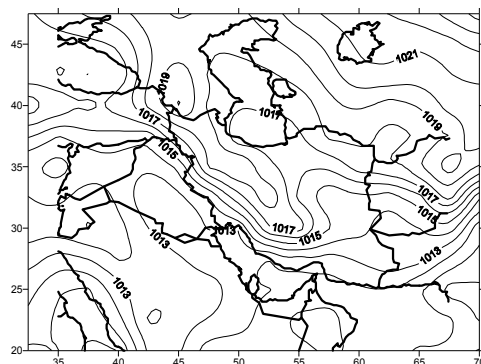
در تیپ ۳ کم فشار حرارتی مناطق حاره و مونسونی با مرکزیت ۹۹۹ میلی باری تا بخش‌های جنوبی خلیج فارس نفوذ کرده است. این الگوی فشاری در اواخر بهار و فصل تابستان روی کشورمان ایجاد شده و موجب افزایش دما در مناطق مرکزی و کم ارتفاع ایران می‌شود. در این الگو روی شمال غرب ایران فشار ۱۰۱۳ میلی باری و روی شمال شرق کشورمان پر فشار ۱۰۰۹ بسته شده است. این توزیع فشاری موجب پایداری هوا به خصوص در شمال شرق و منطقه مشهد می‌شود. با این الگو وارونگی‌های دمایی در مشهد ایجاد شده اما بلافاصله پس از طلوع آفتاب به تدریج تضعیف شده و وارونگی دما حدود ساعت ۹ تا ۱۰ صبح به کلی از بین می‌رود. در این گونه وارونگی‌های دمایی، علی‌رغم پایداری هوا در اوایل روز، پس از گذشت چند ساعت و تضعیف اینورژن از میزان آلاینده‌ها در جو کاسته می‌شود.



نقشه ۳. الگوی فشار متوسط سطح دریا برای تیپ ۳

ت) الگوی تیپ ۴

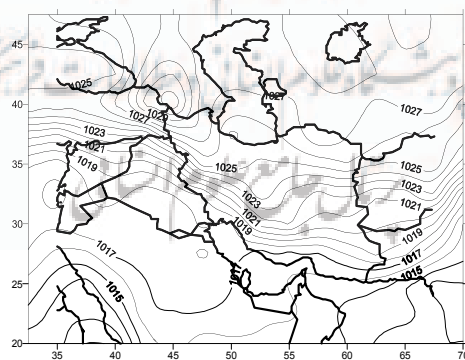
این الگوی فشاری عموماً در فصل پاییز ملاحظه می‌شود. در این الگو پر فشار ۱۰۲۰ میلی باری و بالاتر روی سبیری تا مرزهای شمال شرق کشور گسترده شده است که موجب پایداری هوا و وقوع پدیده‌ی اینورژن در این نقاط می‌شود. در سایر نقاط کشور، بخصوص بخش‌های جنوبی، الگوی کم فشار حاکم است.



نقشه ۴. الگوی فشار متوسط سطح دریا برای تیپ ۴

ث) الگوی تیپ ۵

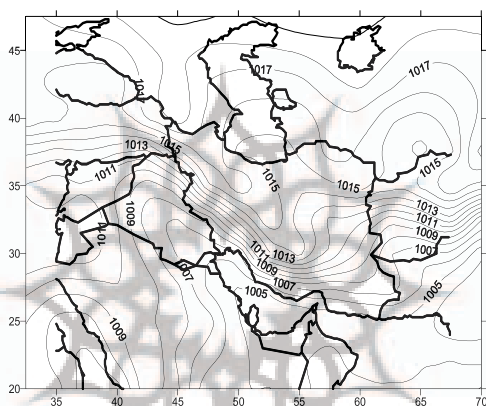
تیپ ۵ یک الگوی زمستانه را نشان می‌دهد که عموماً در فصل زمستان روی خاورمیانه تشکیل می‌شود و با نفوذ هوای سرد سبیری روی کشورمان همراه است. در این الگو پر فشار ۱۰۳۰ میلی باری روی شمال غرب کشورمان بسته شده و زبانه پر فشار ۱۰۲۷ میلی بار از مرزهای شمال شرق کشور عبور کرده است. در این توزیع فشاری، زبانه‌های پر فشار ۱۰۲۰ میلی باری تا جنوب کشورمان امتداد یافته است. از بین هفت الگوی خوشه بندی شده، این الگو از همه آن‌ها قوی تر و شرایط هوا پایدارتر است، لذا وارونگی‌های دمایی دوام بیشتری دارند و به دنبال آن آلودگی هوا در مراکز صنعتی و مشهود نسبت به سایر الگوها بیشتر است.



نقشه ۵. الگوی فشار متوسط سطح دریا برای تیپ ۵

ج) الگوی تیپ ۶

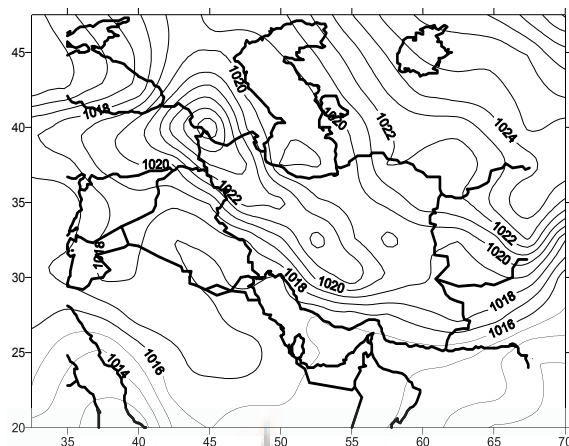
الگوی تیپ ۶ معمولا در فصل بهار و پاییز شکل می‌گیرد. در این الگو شمال کشور در گستره الگوی پر فشار با مرکزیت ۱۰۱۸ تا ۱۰۱۹ میلی بار است و حد فاصل دریای عمان تا شمال خلیج فارس در گستره سامانه کم فشار ۱۰۰۵ میلی بار است. وجود سامانه‌ی پر فشار در شمال کشور موجب پایداری هوا و عدم وجود جریانات صعودی در سطح زمین می‌شود.



نقشه ۶. الگوی فشار متوسط سطح دریا برای تیپ ۶

چ) الگوی تیپ ۷

در این الگو پر فشار ۱۰۲۵ میلی باری روی شمال غرب کشور استقرار یافته که زبان‌های آن تا منتهی الیه جنوب رشته کوه‌های زاگرس گسترده شده است. روی منطقه‌ی خراسان نیز زبان‌های پر فشار سبیری با خط هم فشار ۱۰۲۲ میلی بار گسترش یافته است. این تیپ یک الگوی فشار زمستانه بوده، که با نفوذ هوای سرد سبیری و پایداری نسبتاً شدید هوا در کشورمان همراه است. به دلیل ایجاد وارونگی‌های دمایی و نبود تهویه‌ی هوا در لایه‌های زیرین، هوای منطقه کاملاً پایدار و آلودگی نسبتاً زیاد خواهد بود.



نقشه ۷. الگوی فشار متوسط سطح دریا برای تیپ ۷

نتیجه گیری

پژوهش حاضر، با استفاده از روش تحلیل عاملی و سپس فرایند خوشه بندی، به طبقه بندی الگوی نقشه‌های پراگندگی فشار در منطقه‌ی مورد مطالعه پرداخته تا بر اساس آن بتوان با تحلیل و بررسی نقشه‌های فشار، الگوها و سیستم‌های فشار را شناسایی نمود. در فرایند خوشه بندی، که تمام مشاهدات به تناسب اندازه فاصله گروه‌بندی می‌شوند، به هفت خوشه تبدیل شده و بر اساس اعداد میانگین گیری شده برای هر کدام از گروه‌ها، نقشه‌های مرگب برای داده‌های فشار سطح زمین تهیه گردید. از هفت نوع تیپ به دست آمده، سه نوع آن: الگوی زمستانه با استقرار پر فشار روی زاگرس شمالی، الگوی زمستانه با گسترش پر فشار سیبری روی فلات ایران و الگوی زمستانه با استقرار پر فشار روی آرال، دو الگوی تابستانه با استقرار پر فشار روی شمال غرب کشور و استقرار کم فشار روی خلیج فارس و دو الگوی پاییزی با استقرار پر فشار روی دریای آرال و نوار شمالی کشور است. بنابر این نتیجه می‌شود، بیشتر وارونگی‌ها در زمستان واقع شده و دارای تداوم و قدرت بیشتری هستند.

منابع و مأخذ

۱. انتظاری، علیرضا، (۱۳۸۴)، مطالعه آماری و سینوپتیکی آلودگی هوای تهران، رساله‌ی دکتری آب و هواشناسی، دانشگاه تربیت معلم تهران.
۲. انصافی مقدم، طاهره، (۱۳۷۲)، بررسی آلودگی هوای تهران در رابطه با پایداری و وارونگی دمای جوی (اینورژن)، پایان نامه کارشناسی ارشد، دانشگاه تربیت مدرس تهران.
۳. برهانی، رضا، (۱۳۷۹)، ارتباط آلودگی هوا و وارونگی دمایی با سرعت باد و شدت تابش خورشیدی (روی شهر تهران)، پایان نامه کارشناسی ارشد، هواشناسی کشور.
۴. توسلی، جواد، (۱۳۷۹)، حسن بررسی سیستم‌های آلودگی در منابع عمده آلاینده هوا شامل کارخانجات (سیمان، آسفالت، گچ و آهک استان خراسان).
۵. علیجانی، بهلول، (۱۳۸۰)، تیپ‌های هوا و اثر آنها بر اقلیم ایران، کاوش نامه دانشگاه یزد، ۲۱ شماره ۳.
۶. علیجانی، بهلول، (۱۳۸۱)، اقلیم شناسی سنوپتیک، انتشارات سمت، چاپ اول.
۷. علیجانی، بهلول، (۱۳۸۲)، شناسایی تیپ‌های هوایی مؤثر بر آلودگی هوای تهران، سومین کنفرانس منطقه ای و اولین کنفرانس ملی تغییر اقلیم اصفهان: ۱۶۸.
۸. محمدی، حسین مراد، (۱۳۸۲)، فرایندها و سیستم‌های جوی، انتشارات دانشگاه تهران.
۹. مصلح‌تهرانی، جواد، (۱۳۷۰)، بررسی انواع وارونگی‌های دما لایه‌ی مرزی و ردیست تراز باد بیشینه‌ی برش قائم باد و جریان‌های جت زیر تراز ۵۰۰ هکتوپاسکال بر روی تهران، پایان نامه کارشناسی ارشد مؤسسه ژئوفیزیک دانشگاه تهران.
۱۰. مقدس خراسانی، محمد حسین، (۱۳۶۶)، وضع دید افقی در شهر مشهد و ارتباط آن با جهت‌بادها و اینورژن‌ها، فصلنامه‌ی تحقیقات جغرافیایی، شماره ۴.
۱۱. موسوی، محمد. معروف، محمد صادق. نائینی، امین. (۱۳۸۱)، بررسی پتانسیل تشکیل مه دود فتوشیمیایی ناشی از صنایع در مشهد، نشریه نیوار ۴۴ و ۴۵.
12. F. Troude, E. Dupont, B. Carissimo and a. I. Flossmann, (2001), *Mesoscale Meteorological Simulations In Paris: Comparisons with observations during the experiment eclip*, boundary-layer meteorology 99: 21–51, 2001.
13. Laurence S. Kalkstein and peter Corrigan, (1986), *A Synoptic Climatological Approach For Geographical Analysis: Assessment Of Sulfur Dioxide Concentrations*, 76(3), pp 381-395.